

РАЗДЕЛ ВТОРОЙ

СВЕРХПРОВОДИМОСТЬ И СВЕРХПРОВОДЯЩИЕ МАТЕРИАЛЫ

УДК 669.3.6:539.4.015

СТРУКТУРА И МЕХАНИЧЕСКИЕ СВОЙСТВА ВЫСОКООЛОВЯННОЙ БРОНЗЫ, ЛЕГИРОВАННОЙ ТИТАНОМ И ГЕРМАНИЕМ

*В.М. Ажажа, В.Я. Свердлов, М.А. Тихоновский, А.А. Кондратов, Д.В. Виноградов,
Т.Ю. Рудычева, А.И. Пикалов*
*Национальный научный центр «Харьковский физико-технический институт»,
г. Харьков, Украина*

Исследована микроструктура и механические свойства высокооловянной бронзы Cu-16мас.%Sn и высокооловянной бронзы, легированной титаном Cu-15мас.%Sn-0,4мас.%Ti и германием Cu-15,5мас.%Sn-0,5мас.%Ge, полученных методом направленной кристаллизации в высоком температурном градиенте. Показано, что путем легирования высокооловянной бронзы титаном и германием и оптимальной термообработки возможно улучшение прочностных и пластических свойств бронзы.

Легирование бронзовой матрицы многоволоконных сверхпроводящих композитов на основе фаз A_3B является одним из наиболее перспективных методов повышения сверхпроводящих параметров проводников и создает реальные предпосылки для создания сверхпроводящих магнитных систем с повышенными магнитными полями. Однако очень часто легирование бронзовой матрицы ухудшает пластические свойства матрицы, что сильно ограничивает применение легирования на практике. При обычных способах плавки сплавы медь-олово при повышении содержания олова выше 8,5 мас.% (далее везде проценты массовые) являются уже литейными (т.е. недеформируемыми) [1]. Поэтому для получения деформируемой высокооловянной бронзы разрабатываются специальные способы. При этом изучению влияния концентрации олова и легирования на механические свойства бронзовой матрицы уделяется значительное внимание. Так в работе [2] изучали влияние добавок Mg, Al, Zr, Zn, Ga на структуру и механические свойства оловянной бронзы с содержанием олова 8,5...10%. В более поздней работе [3] теми же авторами проведено исследование влияния добавок Mg, Zr, Zn в оловянной бронзе, содержащей 11...13% Sn, на кинетику формирования сверхпроводящих слоев.

В ННЦ ХФТИ разработан способ получения деформируемой высокооловянной бронзы для матриц сверхпроводящих композитов с содержанием олова 16...18% [4]. В последнее время и в зарубежной литературе появились сообщения об использовании высокооловянной бронзы с содержанием олова выше ~13,5% в «бронзовой» технологии получения сверхпроводящих композитов на основе Nb_3Sn . В работе [5] сообщается о возможности получения деформируемой бронзы с содержанием 15,4% Sn, используя Osprey-процесс. В работе [6] применяли проводник с матрицей состава Cu-15%Sn-0,3%Ti для генерации магнитного поля напряженностью $B=21,2$ Тл в ЯМР-устройстве. В работе [7] приведены сравнительные характеристики многоволокон-

ных проводников, изготовленных из стандартной бронзы Cu-13%Sn и бронзы с содержанием 16% олова. Приведенные в этих работах результаты исследований критических токов и магнитных полей B_{c2} согласуются с нашими данными, полученными ранее для сверхпроводящих композитов Cu- Nb_3Sn , изготовленных на основе бронзы Cu-16%Sn и Cu-13%Sn-1%Ti [8,9].

Анализ имеющихся в литературе данных [9-13], показывает, что наиболее перспективными с точки зрения повышения сверхпроводящих свойств многоволоконных проводов на основе Nb_3Sn в сильных полях являются добавки титана [9]. Очень интересные, хотя и противоречивые данные получены при легировании Nb_3Sn -сверхпроводников германием. Следует отметить, что в литературе отсутствуют данные по свойствам высокооловянной бронзы, легированной этими элементами.

В данной работе приведены результаты исследований структуры и механических свойств высокооловянной бронзы с содержанием олова 14...16%, а также бронзы, легированной германием и титаном.

МЕТОДИКА ЭКСПЕРИМЕНТА

Исходными материалами для получения бронзовых слитков служили: электролитическая медь чистотой 99,99%, олово чистотой 99,9995%, германий чистотой 99,9999%, титан чистотой 99,98%. Слитки бронзы получали сплавлением исходных компонентов в графитовых тиглях в вакууме $\sim 1 \cdot 10^{-4}$ Торр с последующей направленной кристаллизацией со скоростью 10 м/ч в высоком температурном градиенте ($G_T \sim 250$ град/см). Для этой цели использовали устройство аналогичное описанному в [14]. Из верхней и нижней частей полученных слитков диаметром 30 мм и высотой ~ 70 мм вырезали темплеты для исследований микроструктуры. Гомогенизирующий отжиг проводили в вакууме $\sim 1 \cdot 10^{-4}$ Торр по режиму 750 °C/5 ч + 550 °C/48 ч. Микроструктуру образцов исследовали с помощью оптических микроскопов

Neophot-32 и ММР-4. Средние части слитков после гомогенизирующего отжига выдавливали в прутки диаметром 10 мм, затем волочили при комнатной температуре до диаметра 1 мм с промежуточными отжигами 550 °С/1 ч через 20 % деформации. Испытание механических свойств проводили на разрывной машине 12331У. Размер зерна определяли по стандартной методике на поперечных шлифах.

МИКРОСТРУКТУРА

В литом состоянии слитки имели типичную дендритную структуру (рис.1). Дендриты α -фазы осями первого порядка ориентированы вдоль вертикальной оси слитка. В промежутках между дендритными ветвями первого и второго порядков расположена неравновесная структурная составляющая – эвтектоид $\alpha+\delta$ [15]. δ -фаза является хрупким соединением, существенно снижающим пластичность сплава. После гомогенизирующего отжига объемная доля эвтектоида существенно понижалась и составляла: ≤ 1 , ~ 2 , ~ 5 , 5 % в сплавах Cu-14 %Sn-0,5 %Ge, Cu-15,5 %Sn-0,5 %Ge, Cu-15 %Sn-0,4 1%Ti, Cu-16 %Sn, соответственно (рис.2). После горячего выдавливания слитков в прутки $\varnothing 10$ мм на шлифах наблюдали совместную пластическую деформацию всех фазовых составляющих (рис.3)

Данные по размеру зерна для образцов различного диаметра в зависимости от состава и режима термообработки приведены в табл.1.

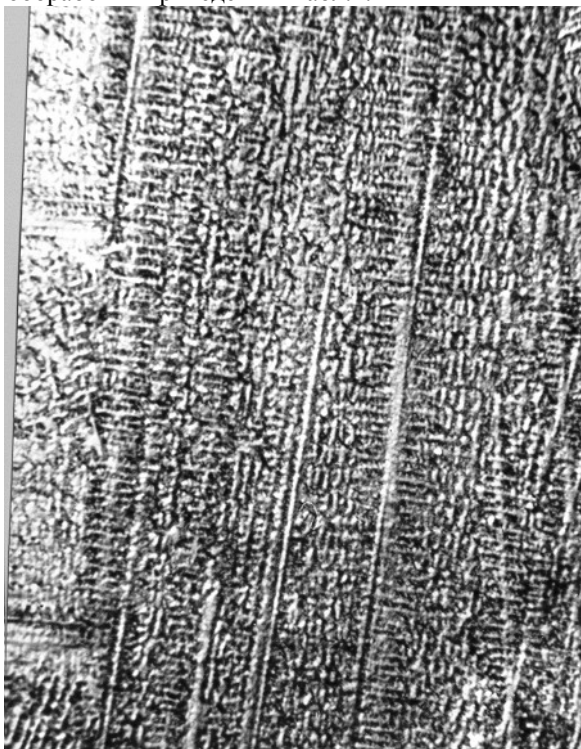


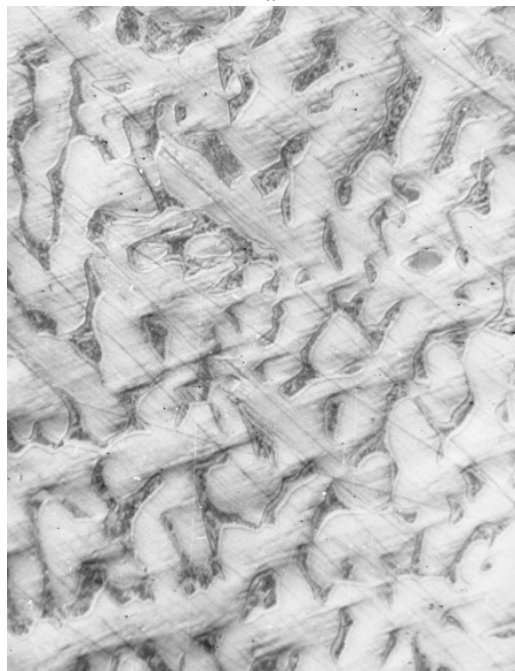
Рис. 1. Литой сплав Cu-15%Sn-0,4%Ti, x100, продольный шлиф

С увеличением температуры отжига от 500 до 750 °С размер зерна увеличивается (рис.4 и 5). При этом наблюдается четкая корреляция между размером зерен и объемной долей выпадений интерметаллидной фазы: чем меньше эта доля, тем выше размер зерна. Так наименьшее количество интерметал-

лидной фазы образуется в бронзе состава Cu-14 %Sn-0,5 %Ge и соответственно для этого состава характерно максимальное увеличение размера зерна до ~ 90 мкм. Аномально мелкое зерно ($\sim 3,4$ мкм) выявлено в бронзе, легированной титаном. При этом по границам зерен наблюдались выпадения мелкодисперсных частичек интерметаллидной фазы, содержащей титан, которые, по-видимому, блокировали процесс собирательной рекристаллизации. Отжиг при 750 °С приводит, вероятно, к растворению этой фазы, и зерно вырастает до ~ 37 мкм.



а



б

Рис. 2. Микроструктура бронз после гомогенизирующего отжига, x100:
а - сплав Cu-15%Sn-0,4%Ti; б – сплав Cu-14%Sn-0,5%Ge



Рис. 3. Микроструктура сплава Cu-15%Sn-0,4%Ti после горячего выдавливания, $\times 100$, продольный шлиф

МЕХАНИЧЕСКИЕ СВОЙСТВА

Данные по микротвердости и твердости приведены в табл. 2. В литом состоянии микротвердость определяли в первичных ветвях дендритов α -фазы на поперечных шлифах. Гомогенизирующий отжиг приводил к более равномерному распределению олова и легирующего элемента по объему сплава, в результате чего микротвердость сплава в первичных

ветвях возрастала. Твердость, наоборот, после гомогенизирующего отжига снижалась. Это наиболее заметно в сплавах, легированных германием, где твердость понизилась почти в два раза (от 159 до 81 кг/мм²). В бронзе, легированной титаном, а также в бронзе состава Cu-16 %Sn твердость после отжига была достаточно высокой: 116 и 110 кг/мм² соответственно. Отсюда можно сделать вывод, что легирование германием способствует равномерному растворению интерметаллидных включений, повышению технологичности бронзы.

Результаты механических испытаний образцов, прошедших отжиг при температуре 450...750 °C приведены на рис.6.

Наиболее высокие значения прочности σ_B имели образцы бронзы, легированной титаном (~60 кг/мм²). Высокие значения $\sigma_B \sim 56$ кг/мм² имели также образцы состава Cu-16 %Sn. Легирование бронзы германием не приводило к значительному увеличению прочностных характеристик.

Предел текучести $\sigma_{0,2}$ для исследуемых составов бронз ведет себя аналогичным образом (рис.6). При этом максимальная пластичность обнаруживается после отжига при температуре 550...600 °C, что связано согласно равновесной диаграмме состояния с максимальной растворимостью олова в меди при этих температурах. Относительное удлинение достигает значений ~70 % на образцах состава Cu-14 %Sn-0,5 %Ge (рис.7). Следует отметить интересную особенность сплава Cu-15 %Sn-0,4 %Ti. При самых высоких значениях прочности этот сплав обладает более высокой пластичностью, чем менее прочный сплав состава Cu-15,5 %Sn-0,5 %Ge.

Таблица 1

Размер зерна, мкм зависимости от режима термообработки в образцах различного диаметра

| Состав бронзы | Ø6 мм | Ø1 мм, | Ø1 мм, | Ø1 мм, |
|------------------------|----------------|----------------|----------------|----------------|
| | т.о.* 550°C/1ч | т.о.* 500°C/1ч | т.о.* 550°C/1ч | т.о.* 750°C/1ч |
| 1. Cu-14 %Sn-0,5% Ge | 69 | 26 | 76 | 90 |
| 2. Cu-15,5 %Sn-0,5 %Ge | 29 | 13 | 31 | 42 |
| 3. Cu-15 %Sn-0,4 %Ti | 3,4 | 9 | - | 37,5 |
| 4. Cu-16 %Sn | 28 | 12 | 43 | 35 |

*Т.о. – термообработка.

Таблица 2

Микротвердость H_u и твердость по Бюнелю HB бронз в литом и гомогенизированном состояниях

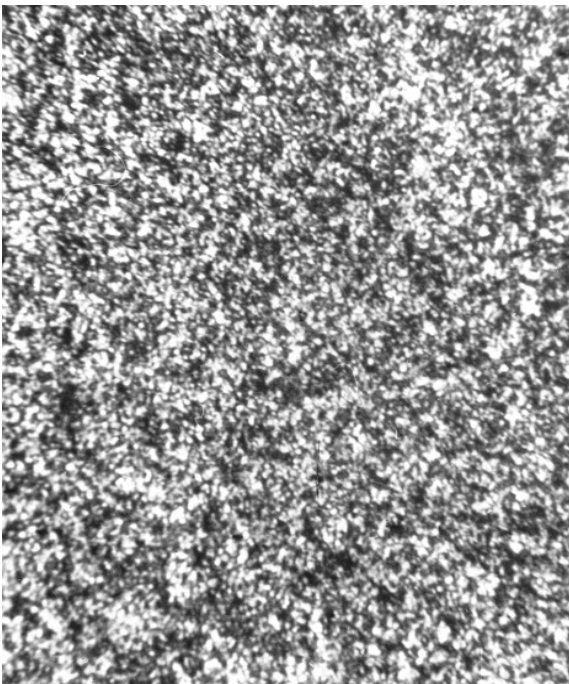
| Сплав | H_u , кг/мм ² | | HB, кг/мм ² | |
|-----------------|----------------------------|-------------------------|------------------------|--------------------------|
| | литой | гомогени-зир- ванный | литой | гомогени-зирова- нный |
| Cu-14Sn-0,5Ge | 139 | 168 | 138 | 80 |
| Cu-15,5Sn-0,5Ge | 160 | 166 | 159 | 81 |
| Cu-15Sn-0,4Ti | - | - | 148 | 116 |
| Cu-16Sn | 130 | 179 | 154 | 110 |



a



б

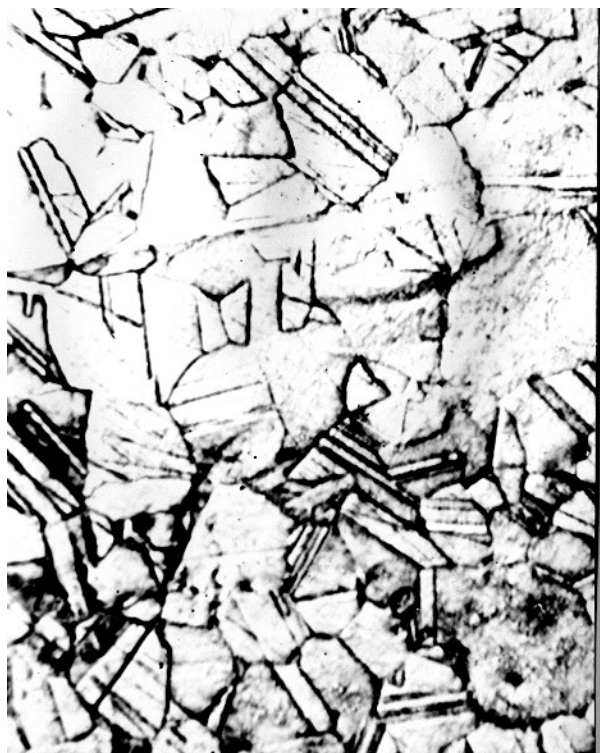


в



z

*Рис. 4. Микроструктура бронз после холодного волочения и термообработки (550 °С/1ч),
Ø 6мм; поперечные шлифы, x200:
a - Cu-14%Sn-0,5%Ge; б - Cu-15,5%Sn-0,5%Ge; в - Cu-15%Sn-0,4%Ti; z - Cu-16%Sn-0,5%Ge*



a



б



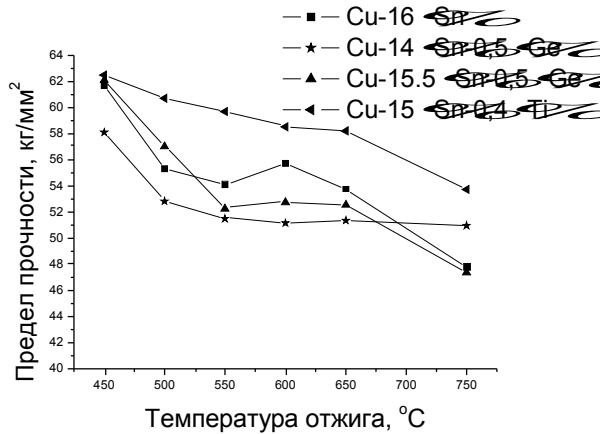
в



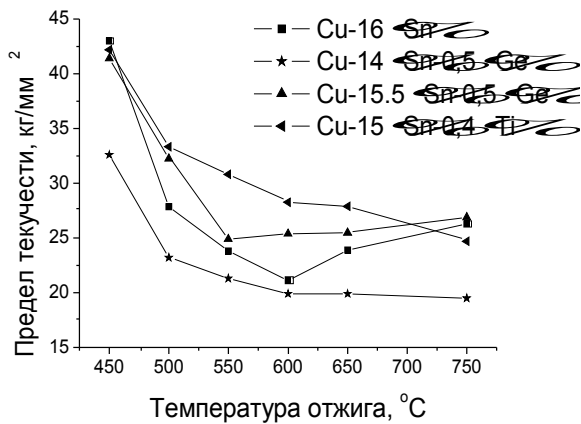
г

*Рис. 5. Микроструктура бронз после волочения до \varnothing 1 мм и отжига 750 °C/1ч.
Поперечные шлифы, x200:
а - Cu-14%Sn-0,5%Ge; б - Cu-15,5%Sn-0,5%Ge; в - Cu-15%Sn-0,4%Ti; г - Cu-16%Sn-0,5%Ge*

ВЫВОДЫ



а



б

Рис. 6. Зависимость предела прочности (а) и предела текучести (б) бронз от температуры отжига (время отжига – 1 ч)

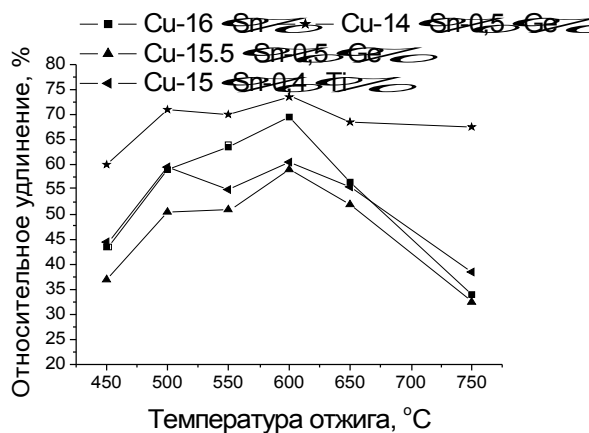


Рис. 7. Относительное удлинение бронз в зависимости от температуры отжига (время отжига – 1 ч)

1. Для нелегированной бронзы Cu-16 %Sn при температуре отжига 600 °C наблюдаются максимумы предела прочности и относительного удлинения, тогда как предел текучести σ_T имеет минимум. Повышение σ_T с дальнейшим увеличением температуры отжига связано, на наш взгляд, с ретроградным характером растворимости олова в меди. Так как концентрация 16 %Sn является пределом растворимости при $T=550...600$ °C, то с дальнейшим ростом температуры отжига вследствие снижения предела растворимости происходит распад пересыщенного твердого раствора. Это должно приводить к повышению σ_T и снижению относительного удлинения. Процесс выделения частиц интерметаллидной фазы может быть ответственным также за относительно низкий размер зерна, который наблюдается после отжига при температуре 750 °C (см. табл.1).

2. Легирование бронзы Cu-15 %Sn титаном (0,4 %) приводит к существенному росту пределов текучести и прочности, причем обе эти характеристики монотонно падают с повышением температуры отжига. Что касается относительного удлинения, то оно имеет, как и для нелегированной бронзы, небольшой максимум при температуре отжига ~600 °C. Легирование германием (сплава Cu-15,5%Sn-0,5%Ge) также повышает предел текучести, но значительно слабее, чем легирование титаном. При этом предел прочности сплава Cu-15,5 %Sn-0,5 %Ge оказывается (после отжига в области оптимальных температур) ниже, чем у нелегированной бронзы Cu-16 %Sn. Возможно это связано с тем, что добавки германия повышают предел растворимости олова в меди, о чем косвенно свидетельствует низкое значение твердости гомогенизированного слитка Cu-15,5 %Sn-0,5 %Ge.

3. Максимальное значение относительного удлинения и минимальные величины σ_B и σ_T имеет сплав с пониженной концентрацией олова, легированный германием (Cu-14 %Sn-0,5 %Ge). При этом величина δ достигает 72 % и слабо зависит от температуры отжига в интервале 500...750 °C. Однако и другие изученные сплавы, полученные методом направленной кристаллизации, имеют удовлетворительную величину пластичности ($\delta=67, 57$ и 55 % для сплавов Cu-16 %Sn, Cu-15 %Sn-0,4 %Ti и Cu-15,5 %Sn-0,5 %Ge). При этом максимальная пластичность наблюдается при температуре отжига вблизи 600 °C.

4. Метод направленной кристаллизации позволяет формировать микроструктуру бронзового слитка с повышенным содержанием олова и легирующих добавок, в частности, германия и титана. Бронзовые слитки обладают повышенными прочностными и пластическими свойствами и перспективны при использовании бронзы в качестве матрицы многослойных сверхпроводников на основе Nb_3Sn .

ЛИТЕРАТУРА

1. Д.И. Сучков. *Медь и ее сплавы*. М: «Металлургия», 1967, 144 с.
2. Л.А. Родионова, Е.Н. Попова, С.В. Сударева и др. Структура и механические свойства легированной бронзовой матрицы сверхпроводящих композитов с Nb₃Sn // *ФММ*. №1, 1992, с.91-99.
3. Е.Н. Попова, В.В. Попов, Е.П. Романов и др. Влияние легирования на кинетику формирования сверхпроводящих слоев и тонкую структуру композитов Nb/Cu-Sn // *ФММ*. т.81, в.6, 1996, с.109-117.
4. А.С. 1515766 от 04.01.1988 г. // *Способ получения заготовки из оловянной бронзы для производства многожильных сверхпроводников на основе Nb₃Sn* / В.Я. Свердлов, Г.Ф. Тихинский, М.А. Тихоновский, А.И. Пикалов.
5. V. Abäerly, B. Seebor, E. Walker et al. Development of (Nb, Ta)₃Sn Multifilamentary Superconductors using Osprey Bronze with High Tin Content // *IEEE Trans. Appl. Supercon.* Vd.11. №1, March 2001, p.3667 – 3670.
6. T.Kiyoshi, A. Sato, T. Takeuchi et al. Development and Operation of Superconducting NMR Magnet beyond 900Mhz // *IEEE Trans. Appl. Supercon.* vol.11, №1. March 2001, p.2347 - 2350.
7. M.Field, R. Hentges, J. Parrell et al. Progress with Nb₃Snconductors at Oxford Instruments Superconducting Technology // *IEEE Trans. Appl. Supercon.* vol.11, №1, March 2001, p.3692 - 3695.
8. V.Ja. Sverdlov, M.A. Tikhonovsky, G.F. Tikhinsky et al. Deformed bronze with high tin content Cu - 16...18wt%Sn and multifilamentary Cu-Nb₃Sn superconductors on its base // *Cryogenics*. 1992, v.32, ICMC Supplements, p.629 -632.
9. V.Ja. Sverdlov, M.A. Tikhonovsky, G.F. Tikhinsky et al. Multifilamentary Nb₃Sn superconductors on the base of high - tin and alloyed bronzes for high -field magnets // *IEEE Trans. on Magn.* July 1996, v.32, №4, p.2879 - 2881.
10. K. Tachikawa, M. Terada, M. Endo, Y. Miyamoto. Bronze-processed Nb₃Sn with addition of germanium to matrix // *Cryogenics*. 1993, v.33, №2, p.205-208.
11. N. Takeuchi, T. Asano, Y. Iijima, K. Tachikawa Effects of the IVa Elements Addition on the Composites-processed Superconducting Nb₃Sn // *Cryogenics*. 1981, №10, p.585-590.
12. T. Luhmann, M. Suenaga. Effects of Stress, Inducted by Thermal Contraction of a Bronze Matrix on the Superconducting Properties of Nb₃Sn Wires // *Appl.Lett.* 1976, v.29, №1,p.61-63.
13. H. Sekine, Y. Iijima, K. Itch, K. Tazchikawa. Effects of Titanium Addition to the Matrix of Nb₃Sn Composites // *Proc. Intern. Cryogen. Mater. Conf., Kobe*, 1992, p.86-89.
14. R. Roberge, H.Le Huy, J.L. Fihey, S. Foner High temperature gradient solidification of improved ultrafine fiber in situ composites // *Proc. JCMC, Kobe, Japan 11-14 May 1982*, p.331 - 334.
15. А.А. Бочвар. *Металловедение*. М.: Металлургиздат, 1956, 492 с.

СТРУКТУРА І МЕХАНІЧНІ ВЛАСТИВОСТІ ВИСОКООЛОВ'ЯНОЇ БРОНЗИ, ЛЕГОВАНОЇ ТИТАНОМ І ГЕРМАНІЄМ

В.М. Ажажа, В.Я. Свердлов, М.А. Тихоновський, О.О. Кондратов, Д.В. Виноградов, Т.Ю. Рудичева, А.І. Пікалов

Досліджена мікроструктура і механічні властивості високоолов'яної бронзи Cu-16%Sn і високоолов'яних бронз, легованих титаном Cu-15%Sn-0,4%Ti і германієм Cu-15,5%Sn-0,5Ge, одержаних методом спрямованої кристалізації у високому температурному градієнті. Показано, що шляхом легування високоолов'яної бронзи титаном і германієм і оптимальної термообробки можливе поліпшення міцності і пластичності бронзи.

STRUCTURE AND MECHANICAL PROPERTIES OF THE HIGH-TIN BRONZE ALLOYED BY TITANIUM AND GERMANIUM

V.M. Azhazha, V.Ya. Sverdlov, M.A. Tikhonovsky, A.A. Kondratov, D.V. Vinogradov, T.Yu. Rudicheva, A.I. Pikalov

A microstructure and mechanical properties of the high-tin bronze Su-16%Sn and high-tin bronze alloyed by the titanium Cu-15%Sn-0,4%Ti and germanium Cu-15,5%Sn-0,5Ge is explored by the method of the direct solidification in a high temperature gradient. It is shown, that by alloying of high-tin bronze by titanium and germanium and optimum heat treatment the improvement of strength is possible and plastic properties of bronze.